

ОБРАЗОВАНИЕ КЛАСТЕРОВ ПРИ ИОННОЙ БОМБАРИРОВКЕ ПЛЕНОК ЗАМОРОЖЕННЫХ ПОЛЯРНЫХ ВЕЩЕСТВ

Г. Д. Танцырев, Е. Н. Николаев

Исследование ионно-ионной эмиссии позволило получить целый ряд сведений о строении и составе поверхности металлов [1], составе окисных пленок на них и химических превращениях адсорбированных на поверхности слоев [2].

Между тем этот метод может быть применен для исследования веществ, находящихся при нормальных условиях в газообразном или жидком состоянии, путем перевода их в твердое состояние замораживанием. Особый интерес в данном случае представляло бы исследование заряженных частиц, состоящих из нескольких молекул, поскольку открылась бы возможность изучения межмолекулярных и ионно-молекулярных взаимодействий в изучаемых веществах. Такие частицы, и именно, ионы типа $\text{Li}^+(\text{H}_2)_n$ с n до 6, были недавно обнаружены [3] при бомбардировке ионами Li^+ водородной пленки, намороженной на металлическую подложку при температуре 3°К.

В настоящей работе были исследованы вторичные ионы, образующиеся при бомбардировке различными ионами с энергией 1 – 2 кэв пленок воды, амиака, метилового и этилового спиртов, намороженных на никелевую подложку. Схема прибора, на котором производились измерения, показана на рис. 1. Пучок бомбардирующих ионов приготавлялся с помощью масс-анализатора 1 прибора МИ-1305; установленные щели давали разрешающую силу ~100. Измерение интенсивности первичного ионного пучка производилось с помощью выдвижного коллектора 2 и электрометрического усилителя. Непосредственно за коллектором под углом 30° по отношению к бомбардирующему пучку расположена никелевая мишень 3, которая через изолятор прикреплена к резервуару с жидким азотом. К задней стороне мишени прикреплены нагреватель из вольфрамовой проволоки и термопара. Такая конструкция мишени позволяет изменять ее температуру в пределах от 200 до –196°C. Пленка исследуемого вещества создавалась путем конденсации паров, напуск которых в прибор производился с помощью дозирующего вентиля. Толщина пленки регулировалась путем изменения температуры никелевой

подложки и давления пара. Образующиеся вторичные ионы в направлении 90° по отношению к первичному пучку вытягиваются электродом 4, ускоряются до энергии 1 кэв и через апертурную щель 5 поступают во второй, малый, магнитный анализатор 6 с радиусом рабочей траектории 100 мм и углом отклонения пучка 60° .

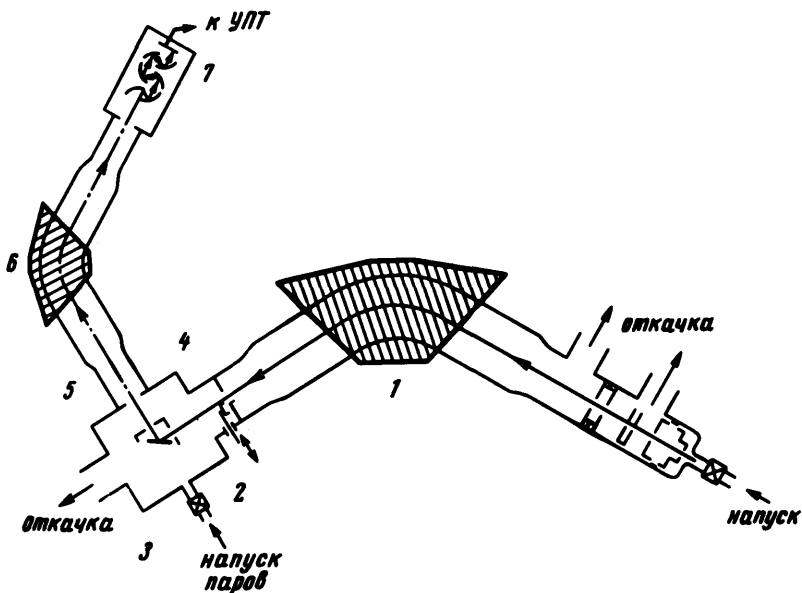


Рис. 1. Схема прибора: 1 – масс-анализатор прибора МИ-1305, 2 – выдвижной коллектор и электрометрический усилитель, 3 – никелевая щель, 4 – электрод, 5 – апертурная щель, 6 – магнитный анализатор, 7 – электронный умножитель

Этот анализатор использовался при разрешающей силе ~ 50 , при этом можно было отклонять на коллектор ионы с массой до ~ 600 ат. ед. Регистрация вторичных ионов производилась электронным умножителем (7) и соединенным с ним последовательно электрометрическим усилителем. Прибор откачивается тремя ртутными диффузионными насосами типа Н10-Р, снабженными ловушками с жидким азотом. Предельный вакуум в приборе составлял $5 \cdot 10^{-7}$ мор.

Для предотвращения образования поверхностного заряда на мишени, который проявлялся в появлении ряда особенностей в масс-спектрах (они представляют специальный интерес и будут описаны в отдельном сообщении), мы работали либо с достаточно тонкими пленками, либо нейтрализовали заряд слабым пучком электронов с энергией 8 – 10 эв.

На рис. 2 показан типичный масс-спектр вторичных ионов, образующихся при бомбардировке пленки воды, намороженной на никелевую подложку при давлении паров воды 10^{-6} мор и при температуре подложки -196°C . Бомбардировка производилась ионами Ar^+ с энергией 1,5 кэв при плотности тока на мишень 10^{-7} а/см^2 . Можно видеть, что основными ионами, образующимися при этих условиях, являются не ионы H_2O^+ или их осколки, а кластеры типа $\text{H}^+(\text{H}_2\text{O})_n$. В наших экспериментах наблюдались кластеры с $n = 30$.

При тех же условиях аналогичные масс-спектры были получены и для аммиака. Основными ионами в этом спектре были кластеры типа $\text{H}^+(\text{NH}_3)_n$. Так же, как и в случае воды, интенсивность кластеров падала по мере увеличения их массы. Были обнаружены кластеры с $n = 30$.

На рис. 3 приведен масс-спектр вторичных ионов, образующихся при бомбардировке пленки метилового спирта, намороженной на никелевую подложку при давлении паров спирта $5 \cdot 10^{-6}$ тор и при температуре подложки -170°C . Остальные условия были теми же, как и в случае воды.

Полученный нами масс-спектр состоит в подавляющей доле из кластеров $\text{H}^+(\text{CH}_3\text{OH})_n$. В отличие от воды, у которой наиболее интенсивный ток давали ионы H_3O^+ , в метиловом спирте самым основным ионом является кластер $\text{H}^+(\text{CH}_3\text{OH})_3$. Были обнаружены кластеры до $n=6$. Для этилового спирта были обнаружены кластеры типа $\text{H}^+(\text{C}_2\text{H}_5\text{OH})_n$ с n до 4. Следует отметить, что максимальные значения n для всех исследованных типов кластеров в наших измерениях ограничивались возможностями вторичного магнитного анализатора и, по-видимому, образовывались и более тяжелые кластеры.

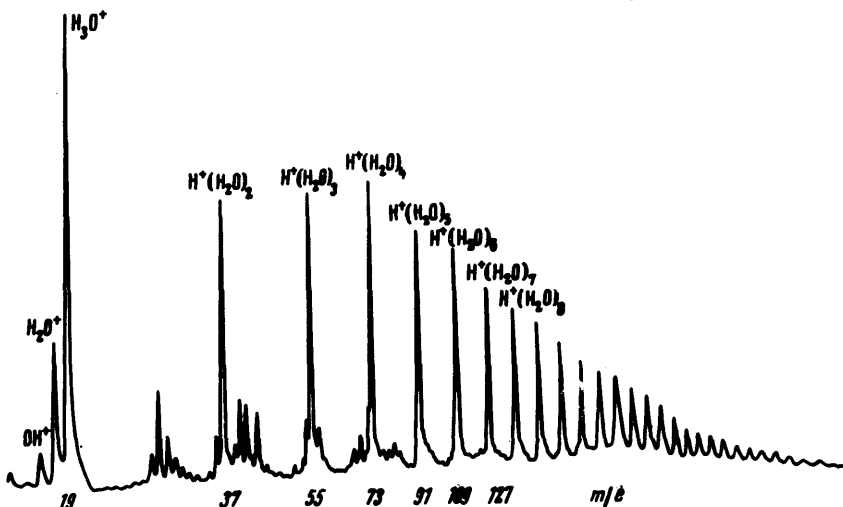


Рис. 2. Масс-спектр кластеров воды

Для легких кластеров воды с n до 10 была измерена зависимость их тока от величины тока бомбардирующих ионов, которая оказалась линейной. Было проведено качественное исследование влияния массы и структуры бомбардирующих ионов на масс-спектр вторичных ионов воды. Для бомбардировки использовались ионы H_2^+ , He^+ , N^+ , N_2^+ , Ar^+ и C_3H_7^+ с энергией 1,5 кэв. При использовании легких ионов H_2^+ и He^+ образование кластеров не наблюдалось. Все остальные ионы давали однотипные кластерные масс-спектры с грубо одинаковым выходом, который можно оценить как один вторичный ион H_3O^+ на 10^6 первичных ионов.

Из полученных данных можно сделать некоторые выводы о механизме образования, по крайней мере, легких кластеров, прежде всего воды,

которая исследовалась нами более подробно. При ударе иона о мишень, на которой вода, по-видимому, находится в виде мелкокристаллической пленки, происходит ионизация отдельных молекул воды и локальный разогрев этой пленки. В первый момент времени после удара плотность молекул воды в этой области очень велика, и именно в этот момент происходит образование кластеров и дезактивация их внутреннего возбуждения. О том, что образующиеся кластеры не имеют заметного внутреннего возбуждения, говорит тот факт, что в полученных спектрах не было обнаружено метастабильных по отношению к диссоциации

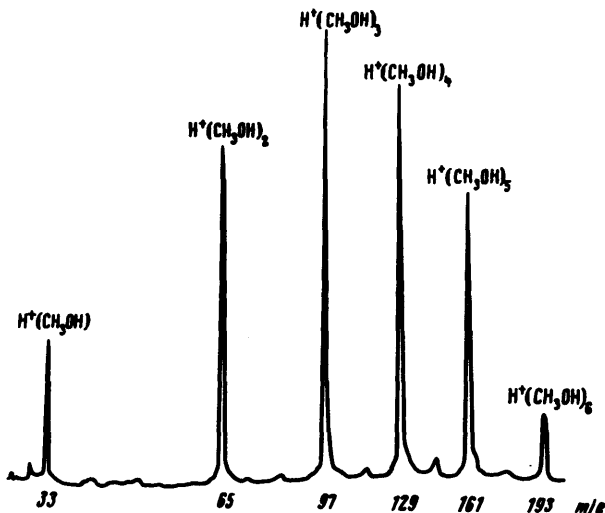


Рис. 3. Масс-спектр кластеров метилового спирта

ионов даже для кластеров с большим n . Образовавшиеся таким образом кластеры испаряются затем с разогретого участка подложки. В пользу этого механизма говорит, возможно, и отсутствие кластеров при бомбардировке легкими ионами, имеющими больший пробег в веществе и, следовательно, дающими меньший локальный разогрев.

Описанный метод позволяет исследовать кластеры различных веществ, в том числе, по-видимому, и неполярных соединений как это было показано в работе [3]. В отличие от метода получения кластеров в газовой фазе, разработанного Кеберле [4], который ограничен сравнительно узким диапазоном рабочих давлений, данный способ дает возможность получать существенно более тяжелые кластеры.

Описанное в статье обнаружение вторичной эмиссии преимущественно ионных кластеров в "холодном" состоянии с поверхности молекулярных кристаллов полярных веществ открывает, в соответствии со сказанным вначале, новые возможности исследования термодинамики сольватации, определения координационных чисел в сольватах.

По сравнению с работами, в которых "кластеризация" изучалась в газовой фазе, ионно-ионная эмиссия обладает очевидными преимуществами, хотя бы потому, что столь тяжелых кластеров, как в настоящей работе, в газах вообще не удавалось получить.

Авторы выражают свою благодарность В.Л.Тальрозе за ценные замечания, сделанные при обсуждении полученных результатов.

Институт химической физики
Академии наук СССР

Поступила в редакцию
16 марта 1971 г.

Литература

- [1] Castany, Slodzian, in "Advances in Mass Spectrometry" 3, 91, London, 1966.
 - [2] В.Ф.Рыбалко, В.Я.Колот, Я.М.Фогель. ЖТФ, 39, 1717, 1969.
 - [3] R.Clampitt, D.K. Jefferies. Nature, 226, 141, 1970.
 - [3] P.Kaberle, S.K.Searles, A.Zolla, J.Searborouch, M.Arschadi. J. Am. Chem. Soc., 89, 6393, 1967.
-